

## 碳、硼对铸态 ZTC4 组织与性能的影响

戚运莲<sup>1</sup>, 曾立英<sup>1</sup>, 侯智敏<sup>1</sup>, 洪权<sup>1</sup>, 刘时兵<sup>2</sup>, 赵军<sup>2</sup>, 谢华生<sup>2</sup>

(1. 西北有色金属研究院, 西安 710016;  
2. 沈阳铸造研究所, 沈阳 110022)

**摘要:** 采用熔铸工艺制备了含硼量为 0.2%~0.5%(质量分数)、含碳量为 0.5%~2.0%(质量分数)的 ZTC4/B/C 钛基复合材料, 分析并测试了合金的铸态组织和力学性能。研究结果表明: 钛硼相提高 TC4 合金铸棒的弹性模量, 硼元素添加量为 0.5% 时, 合金弹性模量提高 30%, 同时具有较好的强塑性匹配。C 元素大大提高 ZTC4 合金铸棒的强度, 添加 0.5%C, 其抗拉强度达到 1 300 MPa, 提高了 25%。ZTC4 合金铸棒的显微组织由片层  $\alpha$  或球状  $\alpha$ 、晶界  $\beta$  及短棒状第二相 TiB、球状颗粒且具有浮凸感的第二相 TiC 组成, B 元素具有细化晶粒的作用。

**关键词:** 铸造钛合金; 微量元素; 弹性模量; 显微组织; 力学性能

中图分类号: TG146.23 文献标志码: A

## Effects of C and B on microstructure and properties of as-cast ZTC4

QI Yun-lian<sup>1</sup>, ZENG Li-ying<sup>1</sup>, HOU Zhi-min<sup>1</sup>, HONG Quan<sup>1</sup>, LIU Shi-bing<sup>2</sup>, ZHAO Jun<sup>2</sup>, XIE Hua-sheng<sup>2</sup>

(1. Northwest Institute for Nonferrous Metal Research, Xi'an 710016, China;  
2. Shenyang Research Institute of Foundry, Shenyang 110022, China)

**Abstract:** ZTC4/B/C titanium matrix composites containing B and C with B content ranging from 0.2% to 0.5% (mass fraction) and C content ranging from 0.5% to 2% (mass fraction) were fabricated using melting-casting process. The microstructure and mechanical properties of as-cast ZTC4/B/C titanium matrix composite were studied. The results indicate that elastic modulus of ZTC4/B is increased by 30% with 0.5% B. The ultimate tensile strength (UST) of ZTC4/B/C reaches 1 300 MPa with 0.5% B and 0.5% C, which is increased by 25%. The microstructures of as-cast ZTC4/B/C consist of lamellar  $\alpha$ , grain boundaries  $\beta$  and the second phase TiB with bar-like shape and the second phase TiC with spherical-like shape. The microstructures of ZTC4/B/C can be refined with the increase of B content.

**Key words:** cast titanium alloy; trace element; elastic modulus; microstructure; mechanical properties

随着航空、航天和尖端武器的发展, 钛合金铸件得到越来越多的应用。尤其是近年来钛精密铸造技术的发展, 使得批量铸造生产一些结构复杂的装备零件成为可能。钛铸件不仅能用来制造结构复杂、近净形的铸件, 而且金属利用率高, 成本低, 生产周期短。另一方面, 各种技术的进步, 尤其是钛合金精铸技术的发展和进步以及热等静压技术(HIP)技术的出现, 大

大提高了钛铸件的质量, 推动了钛铸件在发动机和飞机上的应用<sup>[1~4]</sup>。相对于细长和薄壁零件, 钛合金刚性差, 在使用过程中容易变形, 因此, 如何提高钛合金的综合性能是研究者一直关心的问题。人们发现向传统钛合金中加入少量的硼和碳, 其显微组织及相关性能都会产生重大变化, 将传统钛合金铸件晶粒尺寸细化一个数量级。晶粒得以细化, 强度和刚度都随着提

基金项目: 国家重点基础研究发展计划资助项目(2007CB613805, 2007CB613807)

收稿日期: 2013-07-28; 修订日期: 2013-10-10

通信作者: 戚运莲, 教授级高级工程师, 硕士; 电话: 029-86231078; E-mail: qiyunlian@126.com

高,这就有可能研发出新型且经济适用的加工工艺,提升传统钛合金的性能。本文作者主要研究微量元素硼(B)、碳(C)对Ti-6Al-4V的铸造组织与性能影响,期望该材料能够获得较为广泛的应用<sup>[5-8]</sup>。

## 1 实验

实验所用原材料为海绵钛、铝豆、纯钒、纯硼粉、纯碳粉、钛箔,将其按一定比例混合压制成为电极块,配制出含硼为0.2%~0.5%,碳为0.5%~2.0%的钛基复合材料。设计4种成分ZTC4/B、ZTC4/B/C钛基复合材料。为保证材料成分均匀,在感应熔炼炉中熔炼2次,在非自耗真空电弧熔炼炉中,采用电磁搅拌熔炼,冷却后翻转合金铸锭,重熔,反复熔炼4次。之后采用紫铜模具进行铸棒浇铸。从铸棒上线切割d8 mm×10 mm试样,用于相组成和显微组织分析,线切割d8 mm×40 mm试样,用于力学性能测试。热等静压处理制度为:加热温度920 °C,氩气压力110 MPa,氩气纯度为99.995%,保温时间2 h。

## 2 结果与讨论

### 2.1 碳、硼元素对ZTC4合金弹性模量的影响

表1列出了添加不同微量元素B、C对TC4合金铸棒弹性模量的影响。由表1可以看出,添加0.2%硼元素,铸态TC4合金的弹性模量增大(未添加微量元素铸态TC4合金的弹性模量为95~105 GPa),提高了20~30 GPa;硼元素为0.5%时,铸态ZTC4合金的弹性模量达到125~145 GPa,这是由于生成了TiB增强相,提高弹性模量。在ZTC4/0.5%B基础上,添加了0.5%~2%C元素,ZTC4合金铸棒的弹性模量为123~

表1 ZTC4/B/C钛基复合材料弹性模量

**Table 1** Elastic modulus of ZTC4/B/C titanium matrix composite

Nominal composition	Elastic modulus/GPa
ZTC4/0.2B	125~130
ZTC4/0.5B	125~145
ZTC/0.5B/0.5C	123~127
ZTC4/0.5B/2C	125~130

130 GPa,弹性模量稍有降低。B元素对弹性模量的提高有较大贡献,C元素对ZTC4合金铸棒弹性模量的作用不明显<sup>[9]</sup>。

### 2.2 碳、硼元素对ZTC4合金室温拉伸性能的影响

铸棒经热等静压处理后的室温力学性能如表2所示。由表2可以看出,硼元素的添加明显提高强度和塑性,TC4铸棒的抗拉强度提高20%~30%,伸长率提高25%~30%。在ZTC4/0.5%B基础上添加0.5%C,ZTC4铸棒的抗拉强度大幅度提高,达到1300 MPa,提高了59%,塑性降低50%,C含量增加到2%时,ZTC4铸棒的室温力学性能较差,呈脆性断裂。原因是C含量较高,TiC相颗粒的体积分数增大,脆硬的TiB相聚集在晶界处,抵消了晶粒细化的效果,限制合金的塑性<sup>[6]</sup>。综上所述,B元素对ZTC4合金铸棒的强度和塑性均有明显提高;微量C元素(小于0.5%)可以提高ZTC4合金铸棒的强度,但同时塑性会降低。

表2 ZTC4/B/C钛基复合材料的室温力学性能

**Table 2** Room temperature tensile properties of TC4/B/C titanium matrix composite

Nominal composition	R <sub>m</sub> /MPa	R <sub>p0.2</sub> /MPa	A/%	Z/%
ZTC4	815	780	7.5	13
	825	770	8.5	15
ZTC4/0.2B	995	905	10.0	27.0
	995	900	11.5	27.0
ZTC4/0.5B	1 040	940	10.0	22.5
	1 050	945	9.5	21.0
ZTC/0.5B/0.5C	1 307	1 198	3.5	9.0
	1 301	1 197	4.5	8.5
ZTC4/0.5B/2C	954	—	3.5	5.5
	975	—	3.0	6.5

### 2.3 碳、硼元素对ZTC4合金显微组织的影响

添加不同微量元素B、C对ZTC4钛合金铸棒显微组织的影响如图1所示。由图1(a)和(b)可以看出,添加0.2%~0.5%B,ZTC4铸棒的显微组织由片层α、晶界β以及第二相(TiB)组成,随B含量增加,第二相的体积分数明显增加,显微组织细化效果明显,当B含量为0.2%时(图1(a)),晶粒内部α形态为长而粗大的板条状,当B含量为0.5%时(图1(b)),晶粒内部α形态细化为短粗板条。在ZTC4/0.5%B基础上添加

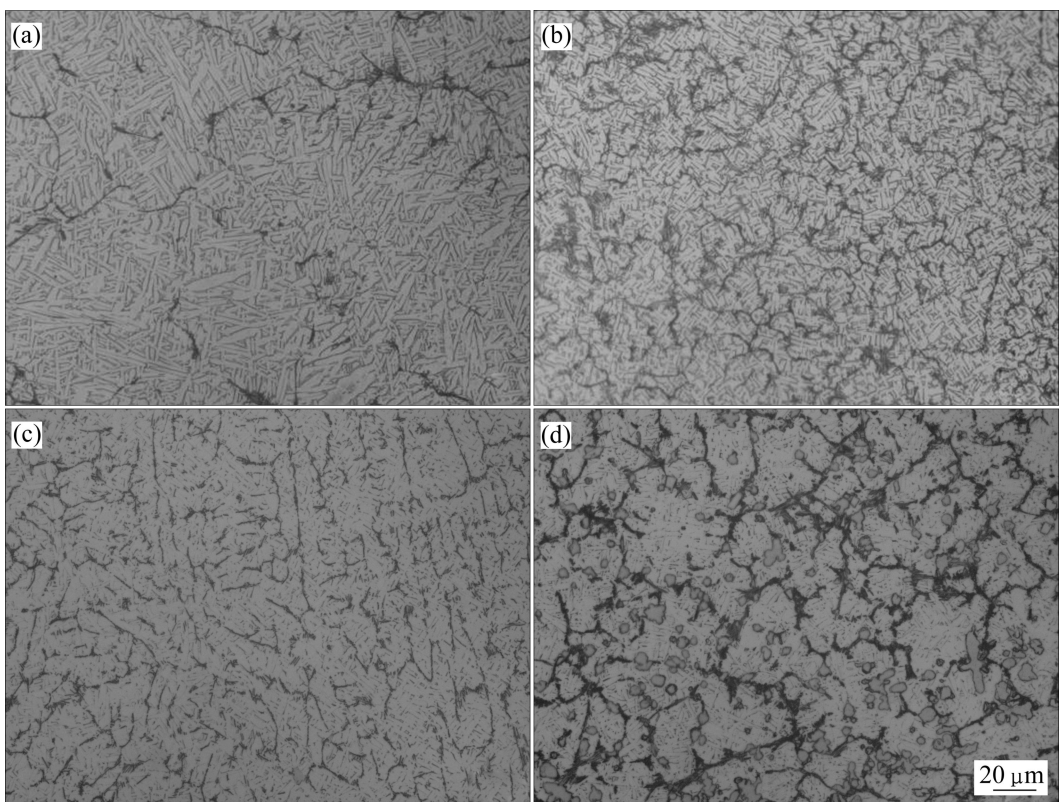


图 1 ZTC4/B/C 钛基复合材料的显微组织

**Fig. 1** Microstructures of ZTC4/B/C titanium matrix composite: (a) 0.2%B; (b) 0.5%B; (c) 0.5%B+0.5%C; (d) 0.5%B+2%C

0.5%~2%C 的显微组织如图 1(c)和(d)所示, C 含量为 0.5%时(图 1(c)), 晶粒内部  $\alpha$  呈细针状, 与其强度提高、塑性降低相对应。C 含量为 2%时(图 1(d)), 第二相(TiC)颗粒呈球状, 均匀分布在晶粒内, TiC 颗粒使其塑性较差。

添加不同微量元素 B、C 的 ZTC4 钛合金铸棒的 SEM 照片如图 2 所示。由图 2(a)可以看出, 添加 0.5%B 和 0.5%C, 第二相 TiB 以短棒状析出, 第二相 TiC 呈球状颗粒, C 含量添加增大到 2%时(图 2(b)), TiC 颗粒球化更明显, 且浮在基体上, 具有较强的浮凸感<sup>[10]</sup>。

#### 2.4 ZTC4 合金室温拉伸断口特征

B/C 钛基复合材料铸棒室温拉伸断口形貌如图 3 所示。可以看出, 图 3(a)和 3(b)断口具有较深、较大的韧窝, 这些较深、较大的韧窝与铸棒具有较好的塑性相对应; 图 3(c)和 3(d)的断面相对要平坦一些, 有大小不等的韧窝, 但韧窝较浅, 致使铸棒塑性较低。所有断口上有明显的撕裂棱, 断面上呈沿晶断裂, 并伴有沿晶二次裂纹, 断裂起源位置不明显<sup>[11]</sup>。

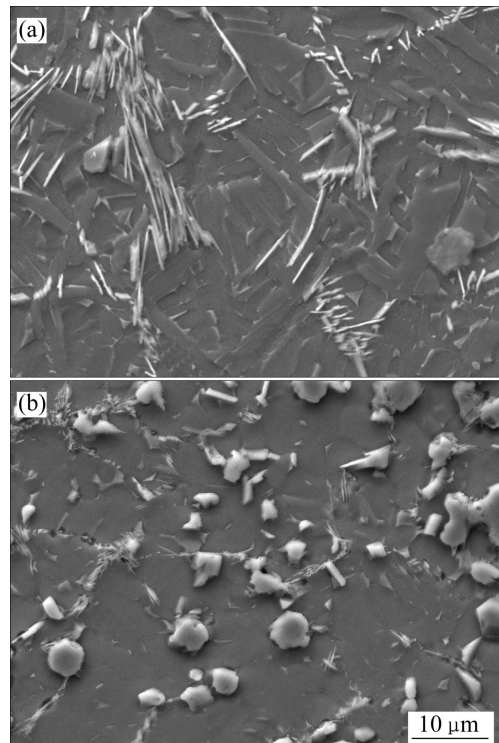


图 2 ZTC4/B/C 钛基复合材料的 SEM 照片

**Fig. 2** SEM images of ZTC4/B/C titanium matrix composite: (a) 0.5%B+0.5%C; (b) 0.5%B+2%C

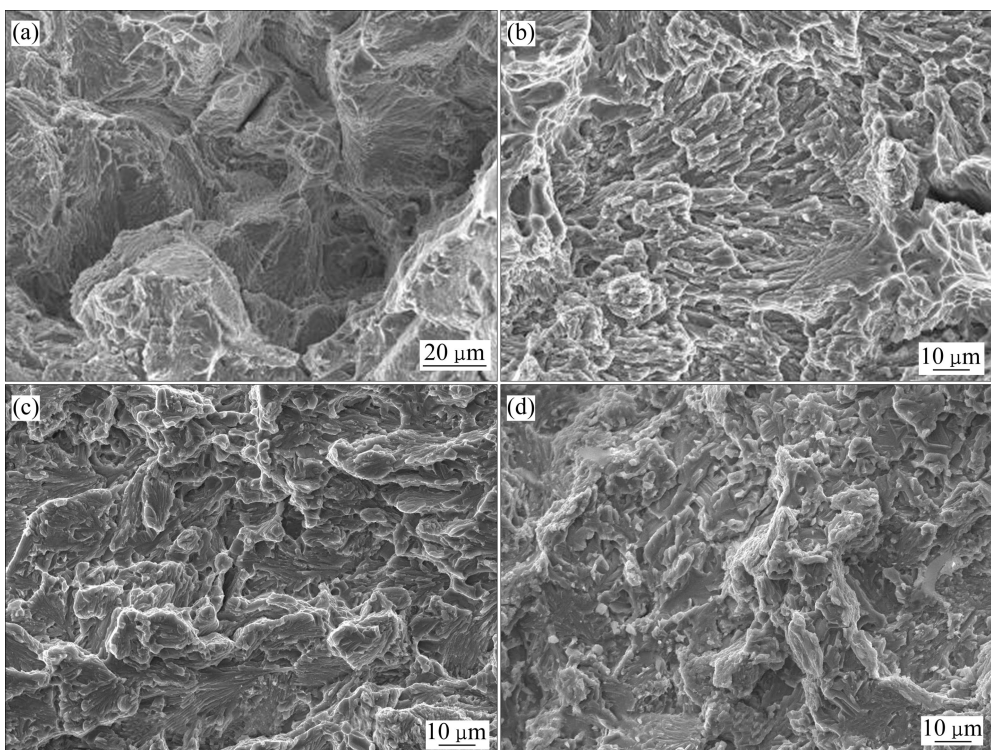


图3 ZTC4/B/C 钛基复合材料的室温拉伸断口形貌

**Fig. 3** SEM images of fracture surface of ZTC4/B/C titanium matrix composite: (a) 0.2%B; (b) 0.5%B; (c) 0.5%B+0.5%C; (d) 0.5%B+2%C

### 3 结论

1) B 元素可以大大提高 ZTC4 铸棒的弹性模量, C 元素对提高 ZTC4 合金铸棒的弹性模量作用不明显。B 含量为 0.5% 时, TC4 弹性模量达到 145 GPa。

2) B 元素对 ZTC4 合金铸棒的强度和塑性均有明显提高, 具有较好的强塑性匹配; C 元素可以提高 ZTC4 合金铸棒的强度, C 元素含量达到 2% 时, 塑性低于 5%, 或呈脆性断裂。

3) ZTC4 合金铸棒的显微组织由片层  $\alpha$  或球状  $\alpha$ 、晶界  $\beta$  及短棒状第二相 TiB、球状颗粒且具有浮凸感的第二相 TiC 组成, B 元素具有细化晶粒的作用。

### REFERENCES

- [1] 张满, 南海, 黄东, 曹国平. 钛合金铸件的热等静压和氢处理工艺研究[J]. 中国铸造装备与技术, 2002(5): 1–3.  
ZHANG Man, NAN Hai, HUANG Dong, CAO Guo-ping. Study of heat isostatic pressing and thermohydrogen treatment of titanium alloy castings[J]. China Foundry Machinery &

Technology, 2002(5): 1–3.

- [2] 闫平, 王利, 赵军, 汪志华, 张春辉, 游涛. 高强度铸造钛合金的应用及发展[J]. 铸造, 2007, 56(5): 451–454.  
YAN Ping, WANG Li, ZHAO Jun, WANG Zhi-hua, ZHANG Chun-hui, YOU Tao. Development and applications of the high-strength cast titanium alloy[J]. Foundry, 2007, 56(5): 451–454.
- [3] 南海, 谢成木. 国外铸造钛合金及其铸件的应用与发展[J]. 中国铸造装备与技术, 2006(3): 1–3.  
NAN Hai, XIE Cheng-mu. The application and development of cast thonium alloys and their castings abroad[J]. China Foundry Machinery & Technology, 2006(3): 1–3.
- [4] 苏贵桥, 谢华生, 张春辉, 赵军, 王利, 于志强, 刘宏宇. ZTi-3B 铸造钛合金材料的组织和性能[J]. 钛工业进展, 2005, 22(2): 26.  
SU Gui-qiao, XIE Hua-sheng, ZHANG Chun-hui, ZHAO Jun, WANG Li, YU Zhi-qiang, LIU Hong-yu. Microstructures and mechanical properties of ZTi-3B cast titanium alloy material[J]. Titanium Industry Progress, 2005, 22(2): 26.
- [5] 谢华生, 刘时兵, 苏贵桥, 汪志华, 赵军. 我国钛合金精铸件铸造技术的发展及应用[J]. 特种铸造及有色合金, 2008: 462–464.  
XIE Hua-sheng, LIU Shi-bing, SU Gui-qiao, WANG Zhi-hua, ZHAO Jun. Development and application of invest casting

- technology for titanium alloys castings of China[J]. Special Casting & Nonferrous Alloys, 2008: 462–464.
- [6] 张志辉, 王希哲, 商顺利, 白克武, 沈剑韵. 加工工艺对高弹高强钛合金弹性模量的影响[J]. 稀有金属, 2001, 25(1): 19–21.  
ZHANG Zhi-hui, WANG Xi-zhe, SHANG Shun-li, BAI Ke-wu, SHEN Jian-yun. Influence of processing on elastic modulus for a titanium alloy with high strength and high elastic modulus[J]. Chinese Journal of Rare Metals, 2001, 25(1): 19–21.
- [7] 张尚洲, 雷家峰, 关少轩, 刘羽寅, 李东. 热处理对高弹高强高韧钛合金性能的影响[J]. 金属学报, 2002, 38: 74–77.  
ZHANG Shang-zhou, LEI Jia-feng, GUAN Shao-xuan, LIU Yu-yin, LI Dong. Influence of heat treatment on mechanical properties of high elastic modulus, high strength, high toughness and weldable titanium alloys[J]. Acta Metallurgica Sinica, 2002, 38: 74–77.
- [8] 罗皓, 陈志强. 硼改性钛合金研究进展[J]. 材料开发与应用, 2010, 25(4): 77–80.
- LUO Hao, CHEN Zhi-qiang. Progress in boron-modified titanium alloys[J]. Development and Application of Materials, 2010, 25(4): 77–80.
- [9] SEN I, RAMAMURTY U. Elastic modulus of Ti-6Al-4V-xB alloys with B up to 0.55wt.%[J]. Scripta Materialia, 2010, 62: 37–40.
- [10] GIANNOPoulos G I, KARAGIANNIS D, ANIFANTIS N K. Micromechanical modeling of mechanical behavior of Ti-6Al-4V/TiB composites using FEM analysis[J]. Computational Materials Science, 2007, 39: 437–445.
- [11] 崔约贤, 王长利. 金属断口分析[M]. 哈尔滨: 哈尔滨工业大学出版社, 1998: 34–216.  
CUI Yue-xian, WANG Chang-li. Analysis of metal fracture surface[M]. Harbin: Harbin Institute of Technology Press, 1998: 34–216.

(编辑 杨 兵)